

- 1 Struktura molekul
- 2 Přechody
- 3 Za hranicemi Bornovy-Oppenheimerovy aproximace**
- 4 Optická emisní spektroskopie (nejen) plazmatu
- 5 Fotoluminiscence
- 6 Fotoluminiscenční diagnostika
- 7 Laserem indukovaná fluorescence plazmatu

Jemná struktura

Moment hybnosti molekuly ve stavu $^1\Sigma$ odpovídá rotaci.

U ostatních stavů dochází k interakci mezi rotací, orbitálním momentem elektronů a spinem elektronů.

- Spin-orbitální interakce: Závisí na Λ a Σ , štěpí energiové hladiny na $2S + 1$ komponent.

$$\Delta E = hc A \Lambda \Sigma$$

Neuplatňuje se u Σ stavů ($\Lambda = 0$) ani singletů ($S = \Sigma = 0$).

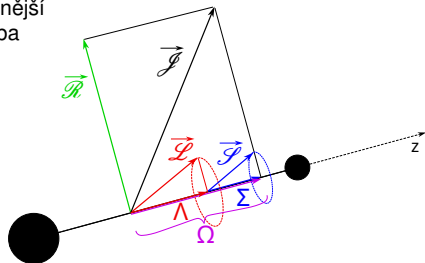
- Spin-rotační interakce: Také štěpí hladiny na $2S + 1$ komponent, posun mezi komponentami závisí na rotačním čísle.
- Interakce orbitálního a rotačního pohybu: Λ -zdvojení.
Dva stavy s opačnou orientací průmětu Λ mohou mít různou energii.

Interakce popsány **Hundovými případy** a – e.

Hyperjemná struktura: interakce s jaderným spinem.

Hundův případ a

- Pokud je elektrostatická vazba ($\vec{\mathcal{L}}$ na osu z) silnější než spin-orbitální vazba a ta je silnější než vazba spin-rotační.
- Dobrá kvantová čísla: $\Lambda, S, \Sigma, \Omega = \Lambda + \Sigma$,
 $J = \Omega + R$.
- Spin-orbitální interakce: $2S + 1$ komponent, $(2S+1)\Lambda_{\Omega}$.



$$\vec{\sigma} = \vec{\mathcal{L}} + \vec{\mathcal{S}}, \quad \sigma_z = \hbar\Omega$$

$$\vec{\mathcal{J}} = \vec{\sigma} + \vec{\mathcal{R}}, \quad \vec{\mathcal{R}} \perp \vec{z}$$

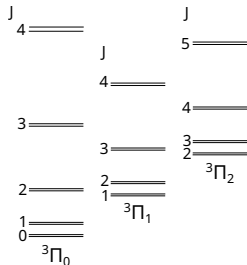
$$\mathcal{J}^2 = \sigma_z^2 + \mathcal{R}^2 + 2\vec{\mathcal{R}} \cdot \vec{\sigma}_{\perp} + \sigma_{\perp}^2$$

$$J(J+1) = \Omega^2 + R(R+1) + \frac{\sigma_{\perp}^2}{\hbar^2} + \frac{2\vec{\mathcal{R}} \cdot \vec{\sigma}_{\perp}}{\hbar^2}$$

$$E_{rot0} = hcB \left[J(J+1) - \Omega^2 - \frac{\sigma_{\perp}^2}{\hbar^2} - \frac{2\vec{\mathcal{R}} \cdot \vec{\sigma}_{\perp}}{\hbar^2} \right]$$

$$E_{rot} \approx hcB J(J+1)$$

- $J \geq \Omega$, nemusí existovat stav s $J = 0$ a $E_{rot} = 0$
- Λ -zdojení

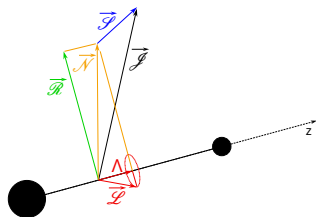


Hundův případ b

- Pokud je vazba na rotaci silnější, než spin-orbitální vazba.
Je-li orbitální moment hybnosti elektronů nenulový, je jeho vazba na osu z v tomto případě silnější, než vazby na rotaci.
- Častý pro Σ stavy ($\Lambda = 0$, bez spin-orbitální interakce).
- Dobrá kvantová čísla: Λ , $N = \Lambda + R$, S , $J = N + S$.
- Stavy se místo kvantového čísla J často označují kvantovým číslem N .

$$E_{rot} = hcB N(N + 1)$$

- K rotační energii se přidává energie spin-rotačního štěpení ($2S + 1$ komponent: $J = N - S, N - S + 1, \dots, N + S$).



$$N \quad J$$

$$4 \quad \begin{array}{l} \text{---} 9/2 \\ \text{---} 7/2 \end{array}$$

$$3 \quad \begin{array}{l} \text{---} 7/2 \\ \text{---} 5/2 \end{array}$$

$$2 \quad \begin{array}{l} \text{---} 5/2 \\ \text{---} 3/2 \end{array}$$

$$1 \quad \begin{array}{l} \text{---} 3/2 \\ \text{---} 1/2 \end{array}$$

$$0 \quad \begin{array}{l} \text{---} 1/2 \\ \text{---} -1/2 \end{array}$$

$$2\Sigma$$

Může se stát, že pro nízká J převažuje spin-orbitální vazba (a), zatímco pro vysoká J téhož vibronického stavu převažuje spin-rotační vazba (Hundův případ b).

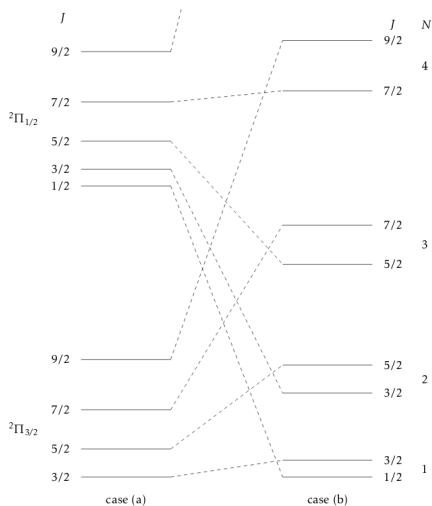
Hundovy případy a, b pro stav ${}^2\Pi$

Hundův případ a

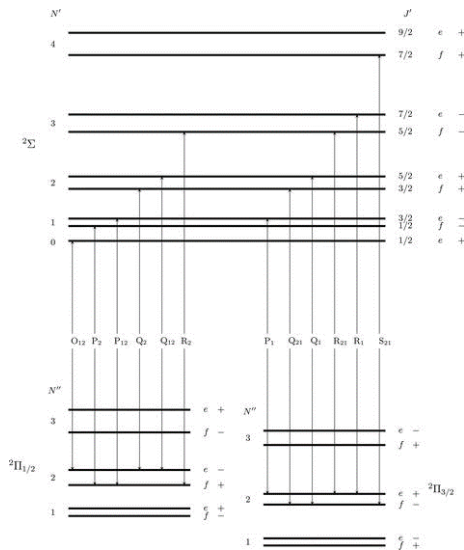
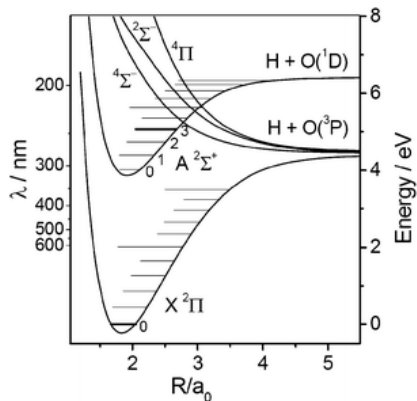
$$\begin{aligned}\Lambda & \\ \Omega &= \Lambda + \Sigma \\ J &= \Omega + R \\ E_{rot} &= BJ(J+1)\end{aligned}$$

Hundův případ b

$$\begin{aligned}\Lambda & \\ N &= \Lambda + R \\ J &= N + S \\ E_{rot} &= BN(N+1)\end{aligned}$$



OH: vazba spin-orbitální, spin-rotační i Λ -zdvojení



- 1 Struktura molekul
- 2 Přechody
- 3 Za hranicemi Bornovy-Oppenheimerovy aproximace
- 4 Optická emisní spektroskopie (nejen) plazmatu**
- 5 Fotoluminiscence
- 6 Fotoluminiscenční diagnostika
- 7 Laserem indukovaná fluorescence plazmatu

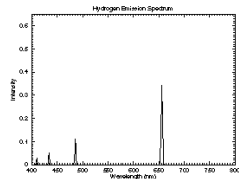
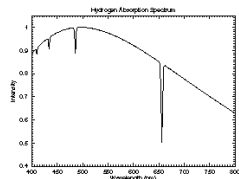
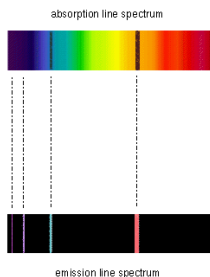
Optická emisní spektroskopie

Optická spektroskopie:

- absorpční
- emisní
- kombinace:
 - fotoluminiscence
 - reabsorpce

Rozptyl:

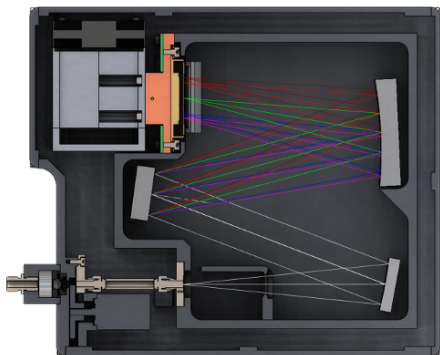
- Mie (limity: Rayleigh, geometrický)
- Raman
- Thomson
- ...



Spektrometr

Součásti spektrometru:

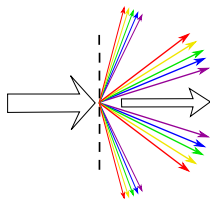
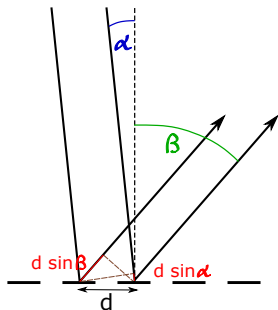
- vstupní štěrбина
- zrcadlo
- disperzní prvek
 - mřížka
 - hranol
- zrcadlo
- detektor
 - CCD
 - ICCD
 - fotonásobič
 - ...



Spektrometr – mřížka

Součásti spektrometru:

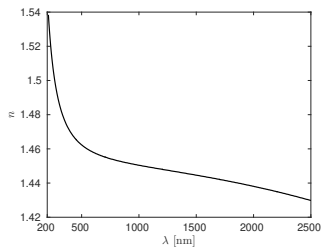
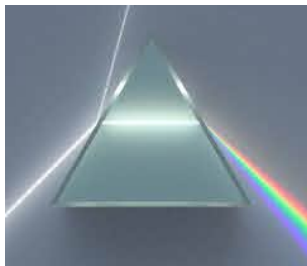
- vstupní štěrba
- zrcadlo
- disperzní prvek
 - mřížka , $m\lambda = d(\sin \beta - \sin \alpha)$
 - hranol
- zrcadlo
- detektor
 - CCD
 - ICCD
 - fotonásobič
 - ...



Spektrometr – hranol

Součásti spektrometru:

- vstupní štěrba
- zrcadlo
- disperzní prvek
 - mřížka
 - hranol
- zrcadlo
- detektor
 - CCD
 - ICCD
 - fotonásobič
 - ...



Spektrometr – detektor

Součásti spektrometru:

- vstupní štěrbin
- zrcadlo
- disperzní prvek
 - mřížka
 - hranol
- zrcadlo
- detektor
 - CCD
 - ICCD
 - fotonásobič
 - ...

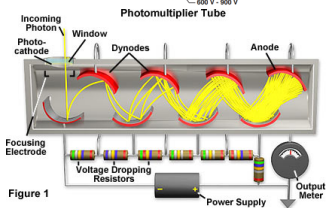
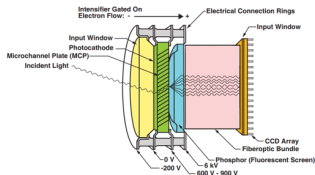
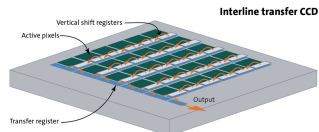
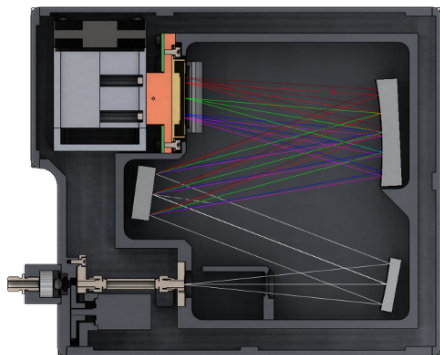


Figure 1

Spektrometr

Součásti spektrometru:

- vstupní štěrbinu
- zrcadlo
- disperzní prvek
 - mřížka
 - hranol
- zrcadlo
- detektor
 - CCD
 - ICCD
 - fotonásobič
 - ...

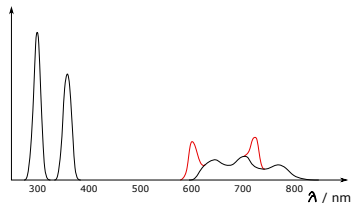
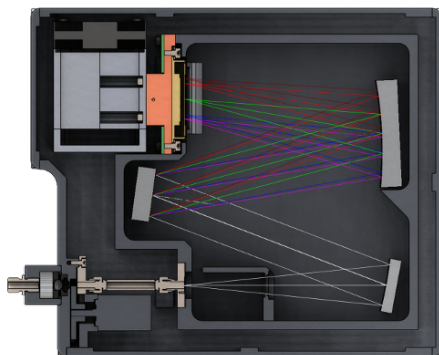


- spektrální rozsah, spektrální rozlišení
- citlivost, SNR, dynamický rozsah
- časové rozlišení, možnost synchronizace
- ...

Spektrometr

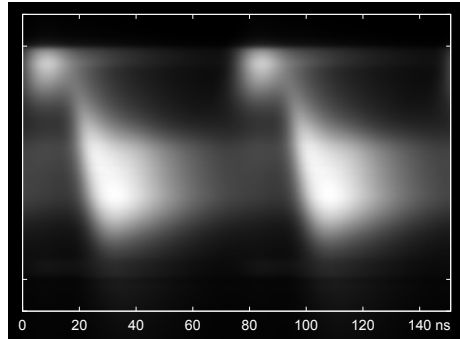
Součásti spektrometru:

- vstupní štěrбина
- zrcadlo
- disperzní prvek
 - mřížka
 - hranol
- zrcadlo
- detektor
 - CCD
 - ICCD
 - fotonásobič
 - ...



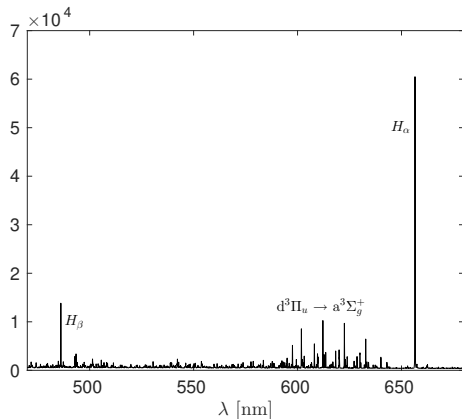
OES – využití v plazmatu

- Přítomnost částic, koncentrace a prostorochasové rozložení excitovaných částic



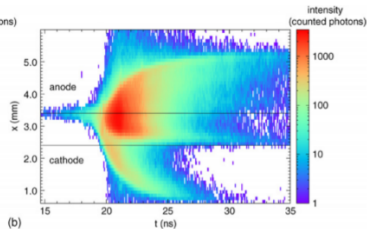
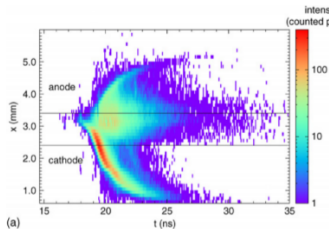
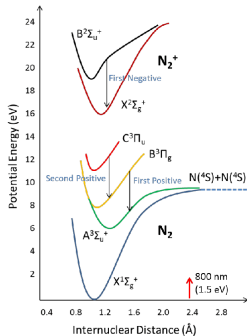
OES – využití v plazmatu

- Přítomnost částic, koncentrace a prostorově časové rozložení excitovaných částic
- Při použití modelů i koncentrace částic v základním stavu
 - absolutní měření intenzity
 - srovnání s jinou čarou, aktinometrie



OES – využití v plazmatu

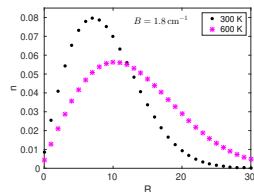
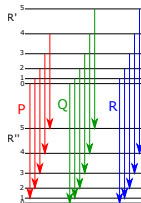
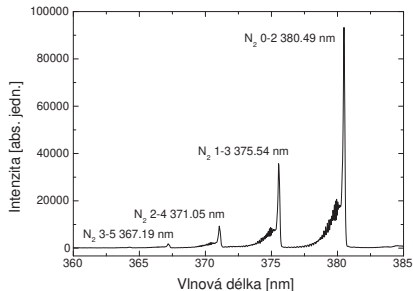
- Přítomnost částic, koncentrace a prostorově časové rozložení excitovaných částic
- Při použití modelů i koncentrace částic v základním stavu
- Energie elektronů, intenzita elektrického pole



OES – využití v plazmatu

- Přítomnost částic, koncentrace a prostorově časové rozložení excitovaných částic
- Při použití modelů i koncentrace částic v základním stavu
- Energie elektronů, intenzita elektrického pole
- Rotační teplota

$$n_{e,v,R} \propto g_n (2R + 1) e^{-\frac{E_{rot}}{kT_{rot}}}$$

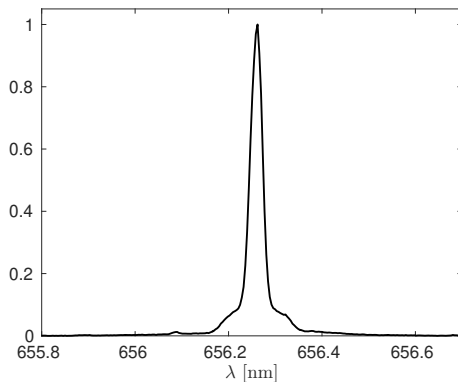


OES – využití v plazmatu

- Přítomnost částic, koncentrace a prostoročasové rozložení excitovaných částic
- Při použití modelů i koncentrace částic v základním stavu
- Energie elektronů, intenzita elektrického pole
- Rotační teplota
- Profil spektrální čáry

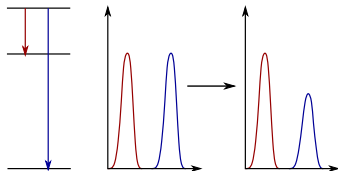
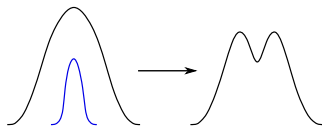
(Voigtův profil: konvoluce Gaussova a Lorentzova profilu. Realita může být komplikovanější.)

- koncentrace elektronů (rozšíření, Starkův jev), nebo jiných okolních částic (rozšíření)
- teplota částic (rozšíření, Dopplerův jev)
- elektrické pole (štěpení, Starkův jev)
- magnetické pole (štěpení, Zeemanův jev)

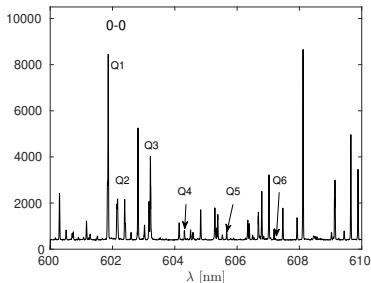
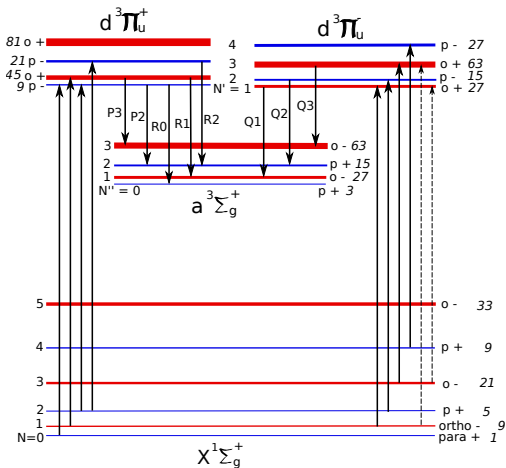


OES – využití v plazmatu

- Přítomnost částic, koncentrace a prostoročasové rozložení excitovaných částic
- Při použití modelů i koncentrace částic v základním stavu
- Energie elektronů, intenzita elektrického pole
- Rotační teplota
- Profil spektrální čáry
- Samoabsorpce – koncentrace spodních stavů
- ...
- neinvazivní a jednoduchá metoda
- vysoká citlivost pro excitované stavy
- přímá informace jen o excitovaných stavech



Př.: Rotační teplota H₂



Za vysokého tlaku

$$I_j \propto A_{d-a, 0-0, j-j} [H_2, d, 0, N']$$

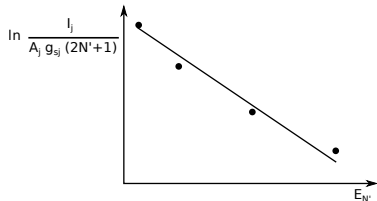
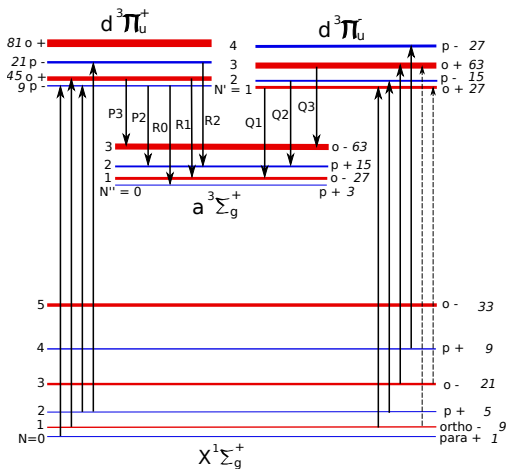
$$[H_2, d, 0, N'] \propto 3 g_{sj} (2N' + 1) e^{-\frac{E_{N'}}{kT}}$$

$$E_{N'} = hcB' N'(N' + 1) - hcD' N'^2 (N' + 1)^2$$

$$B'_{d,0} = 30.36 \text{ cm}^{-1}$$

$$B_{X,0} = 60.85 \text{ cm}^{-1}$$

Př.: Rotační teplota H₂



Za vysokého tlaku

$$I_j \propto A_{d-a, 0-0, j-j} [H_2, d, 0, N']$$

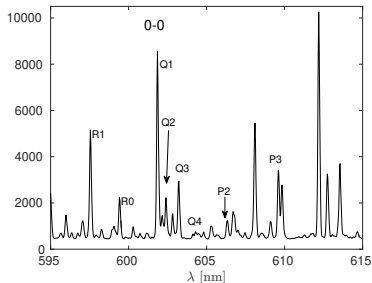
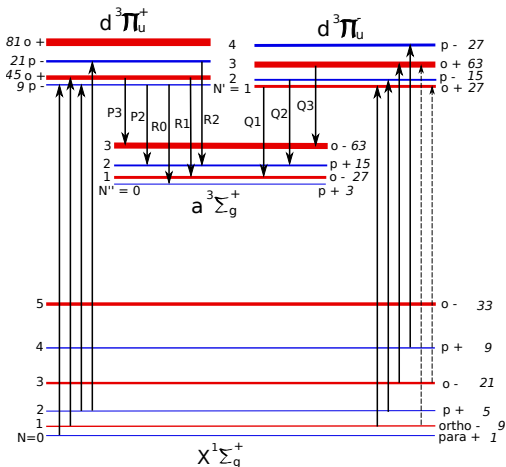
$$[H_2, d, 0, N'] \propto 3 g_{sj} (2N' + 1) e^{-\frac{E_{N'}}{kT}}$$

$$E_{N'} = hcB' N'(N' + 1) - hcD' N'^2(N' + 1)^2$$

$$B'_{d,0} = 30.36 \text{ cm}^{-1}$$

$$B_{X,0} = 60.85 \text{ cm}^{-1}$$

Př.: Rotační teplota H₂



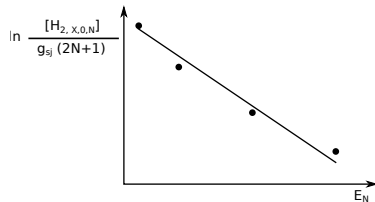
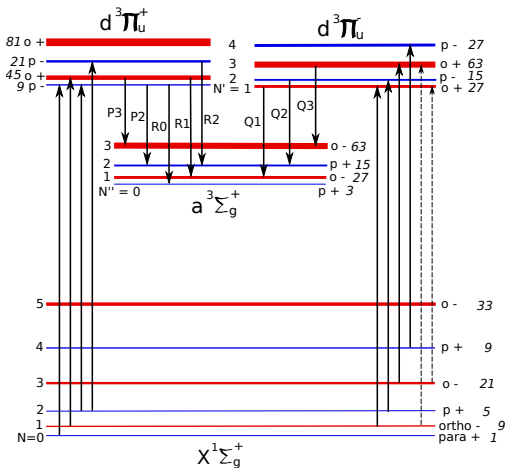
Za nízkého tlaku

$$I_j \propto \eta_j \sum_N R_{X \rightarrow d, 0 \rightarrow v', N \rightarrow N'} [H_2, X, 0, N]$$

$$[H_2, X, 0, N] \propto g_s (2N + 1) e^{-\frac{E_N}{kT}}$$

relat. R	$N' = 1$	2	3	4
$N = 0$		0.3	0.19	0.03
1	1			
2		0.98		0.16
3	0.08		0.98	

Př.: rotační teplota H₂



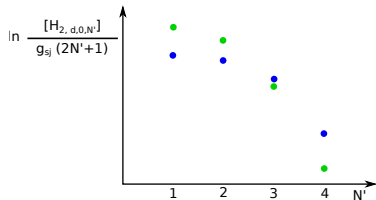
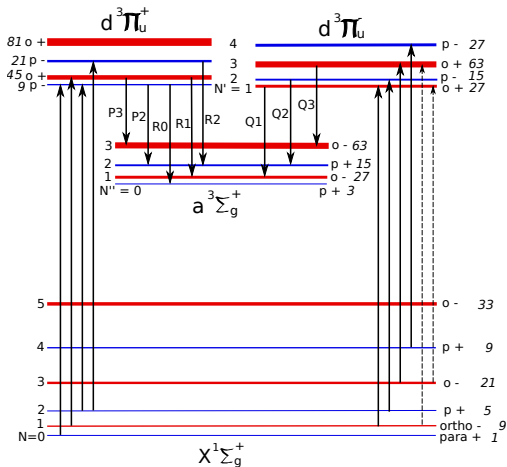
Za nízkého tlaku

$$I_j \propto \eta_j \sum_N R_{X \rightarrow d, 0 \rightarrow v', N \rightarrow N'} [H_2, X, 0, N]$$

$$[H_2, X, 0, N] \propto g_s(2N+1) e^{-\frac{E_N}{kT}}$$

relat. R	$N' = 1$	2	3	4
$N = 0$				
1	1	0.3	0.19	0.03
2		0.98		0.16
3	0.08		0.98	

Př.: Rotační teplota H₂



$$B'_{d,0} = 30.36 \text{ cm}^{-1}$$

$$B_{X,0} = 60.85 \text{ cm}^{-1}$$

$$E \approx hcBN(N+1)$$

relat. R	N' = 1	2	3	4
N = 0		0.3	0.03	
1	1	0.19		
2		0.98	0.16	
3	0.08		0.98	

Jak se bude lišit rotační rozdělení stavu d³Π_u⁻ za nízkého a vysokého tlaku?